

СОДЕРЖАНИЕ

Номер 12, 2022

С Днем энергетика, дорогие читатели!

Охрана окружающей среды

Энергетическая утилизация ТКО: мировой и отечественный опыт (обзор)

A. H. Тугов 5

Повышение эффективности звукоизоляции энергетического оборудования

A. B. Кирюхин, C. P. Бобров, B. A. Таран, A. P. Железнов 23

Получение глинозема из золы угольных электростанций

L. M. Делицын, P. B. Кулумбеков, O. С. Попель, M. Г. Сульман 31

Тепло- и массообмен, свойства рабочих тел и материалов

Валидация модели жидкой пленки конденсата на поверхности гладкого горизонтального цилиндра при различных направлениях движения пара

K. B. Минко, B. И. Артемов, A. A. Клементьев 40

Экспериментальное исследование эффективности термостабилизации стенки диспергированного потоком

B. C. Штейлинг, A. B. Дедов, A. B. Захаренков, A. T. Комов, P. P. Шербаков 54

Определение гидравлического сопротивления и объемных коэффициентов тепло- и массоотдачи при охлаждении оборотной воды в многоступенчатой вихревой камере

I. Н. Мадышев, O. С. Дмитриева, B. B. Харьков, A. O. Маясова 64

Паровые котлы, энергетическое топливо, горелочные устройства и вспомогательное оборудование котлов

Численное исследование топочных процессов при сжигании непроектных углей в котле производительностью 220 т/ч

K. И. Мальцев, A. B. Гиль, A. С. Заворин, D. B. Лебедь 73

Сравнительные исследования процесса получения биоугля методами гидротермальной карбонизации и торреификации в среде перегретого пара

P. L. Исьемин, C. N. Кузьмин, B. B. Коняхин, O. Ю. Милованов, A. B. Михалёв, H. С. Муратова, A. B. Небываев, B. C. Кох-Татаренко 84

Металлы и вопросы прочности

Технология получения детонационных покрытий на деталях энергетического оборудования, изготовленных из стали марки 12Х1МФ

*М. К. Даутбеков, Б. К. Рахадилов, Л. Г. Журерова, Д. Н. Какимжанов,
С. Л. Елистратов, Т. А. Сегеда*

92

Поправка

100

Contents

Vol. 69, No. 12, 2022

Environmental Protection

Municipal Solid Wastes-to-Energy Conversion: Global and Domestic Experience (Review)

A. N. Tugov 5

Improving the Efficiency of Acoustic Insulation for Power Equipment

A. V. Kiryukhin, S. P. Bobrov, V. A. Taran, and A. P. Zheleznov 23

Obtaining Alumina from the Ash of Coal-Fired Power Plants

L. M. Delitsyn, R. V. Kulumbegov, O. S. Popel', and M. G. Sul'man 31

Heat and Mass Transfer and Properties of Working Fluids and Materials

Validating the Model of a Liquid Condensate Film on the Surface
of a Smooth Horizontal Cylinder for Different Vapor Flow Directions

K. B. Minko, V. I. Artemov, and A. A. Klement'ev 40

An Experimental Study of Wall Thermal Stabilization Efficiency by Spray Cooling

V. S. Shteling, A. V. Dedov, A. V. Zakharenkov, A. T. Komov, and P. P. Shcherbakov 54

Determining Hydraulic Resistance and Volumetric Heat and Mass Transfer Coefficients
during Cooling of Circulating Water in a Multistage Vortex Chamber

I. N. Madyshev, O. S. Dmitrieva, V. V. Kharkov, and A. O. Mayasova 64

Steam Boilers, Power-Plant Fuels, Burner Units, and Boiler Auxiliary Equipment

Numerical Study of Furnace Processes during Combustion of Off-Design Coals
in a 220 t/h Boiler

K. I. Mal'tsev, A. V. Gil', A. S. Zavorin, and D. V. Lebed' 73

Comparative Studies of the Biochar Production Process Using Hydrothermal Carbonization
and Superheated Steam Torrefaction

*R. L. Is'emin, S. N. Kuz'min, V. V. Konyakhin, O. Yu. Milovanov, A. V. Mikhalev,
N. S. Muratova, A. V. Nebyvaev, and V. S. Kokh-Tatarenko* 84

Metals and Strength Analysis

A Technology for Making Detonation Coatings on Power Equipment Parts Made
of Grade 12Kh1MF Steel

*M. K. Dautbekov, B. K. Rakhadilov, L. G. Zhurerova,
D. N. Kakimzhanov, S. L. Elistratov, and T. A. Segeda*

92

Errata

100

ЭНЕРГЕТИЧЕСКАЯ УТИЛИЗАЦИЯ ТКО: МИРОВОЙ И ОТЕЧЕСТВЕННЫЙ ОПЫТ (ОБЗОР)

© 2022 г. А. Н. Тугов*

Всероссийский теплотехнический институт, Автозаводская ул., д. 14, Москва, 115280 Россия

*e-mail: *ANTugov@vti.ru*

Поступила в редакцию 29.04.2022 г.

После доработки 23.05.2022 г.

Принята к публикации 31.05.2022 г.

В работе приводятся данные по динамике развития и текущему состоянию энергетической утилизации твердых коммунальных отходов (ТКО) в Европе, США, Японии и Китае, а также перспективы ее реализации в России. Рассматриваются европейский и отечественный подходы к определению понятия энергетической утилизации. Отмечается, что обязательное, установленное российским законодательством требование к подготовке отходов перед их сжиганием (за рубежом такого критерия нет) может оказаться существенным препятствием для развития отрасли энергетической утилизации ТКО в России. Как показывает мировой опыт, предприятия, осуществляющие энергетическую утилизацию ТКО, являются по сути тепловыми электростанциями, основным топливом для которых служат твердые коммунальные отходы (ТЭС на ТКО). Определены факторы, влияющие на энергоэффективность ТЭС на ТКО. Отмечается, что слоевое сжигание ТКО на механической колосниковой решетке, по сравнению с другими технологиями, имеет максимальную энергоэффективность при сопоставимом воздействии на окружающую среду. Показано, что подключение ТЭС на ТКО к гарантированному потребителю тепловой энергии, например к системе городского теплоснабжения, существенно повышает ее энергоэффективность. Приводятся примеры таких ТЭС, работающих в когенерационном режиме. Отмечается, что для современных ТЭС на ТКО оптимальным является полусухой метод очистки дымовых газов как по обеспечению требуемых значений по выбросам загрязняющих веществ, так и по показателям энергоэффективности ТЭС в целом. Рассматриваются возможности увеличения электрического КПД путем повышения давления и температуры перегретого пара, снижения температуры (давления) пара на выходе из турбины, уменьшения тепловых потерь в котле. Отмечается, что целесообразность внедрения мероприятий по повышению энергоэффективности ТЭС на ТКО в каждом конкретном случае определяется на основании технико-экономических оценок и с учетом местных условий. Крайне важно, чтобы эти мероприятия не препятствовали безопасному и эффективному уничтожению отходов на данных ТЭС. Приводится описание строящихся в настоящее время в Московской области четырех ТЭС на ТКО, на которых планируется энергетически утилизировать примерно 2.8 млн т отходов в год.

Ключевые слова: твердые коммунальные отходы, энергетическая утилизация, электрическая станция, энергоэффективность, когенерация, система централизованного теплоснабжения, дымовые газы, выбросы вредных веществ

DOI: 10.56304/S0040363622120098

Municipal Solid Wastes-to-Energy Conversion: Global and Domestic Experience (Review)

A. N. Tugov*

All-Russia Thermal Engineering Institute, Moscow, 115280 Russia

*e-mail: ANTugov@vti.ru

Abstract—Data are presented on the dynamics of development and current state of the municipal solid wastes (MSWs)-to-energy conversion in Europe, the United States, Japan, and China and on the prospects for its implementation in Russia. The European and domestic approaches to the definition of the term “energy recovery” are examined. Note that the mandatory requirement of the Russian legislation for the preparation of wastes before incineration (there is no such criterion abroad) can be a serious obstacle to the development of the MSWs-to-energy recovery industry in Russia. According to the global experience, the facilities engaged in energy recovery from MSWs are, in fact, thermal power plants (TPPs) fired basically with solid municipal wastes (TPPs operating on MSWs). The factors affecting the energy efficiency of such TPPs are determined. It is noted that the grate combustion of MSWs, as compared to other technologies, offers maximum energy efficiency with a comparable environmental impact. The connection of an MSW-fired TPP to a continuous consumer of heat, such as a municipal heat-supply system, has been demonstrated to considerably increase its energy efficiency. Examples are presented of such TPPs operating under co-generation conditions. It is noted that, for modern MSW-fired TPPs, the semidry treatment of flue gas is the best solution as to the attainment of the required harmful emission level and the energy efficiency of the overall TPP. The options are examined for increasing the electrical efficiency by raising the superheated steam pressure and temperature, reducing the steam temperature (or pressure) at the turbine outlet, and cutting down heat losses in the boiler. It is noted that the advisability of introducing measures to improve the energy efficiency of MSW-fired TPPs should be determined on a case-by-case basis using the results of a feasibility study as applicable and considering local conditions. It is critical that these measures would not prevent the safe and efficient disposal of the wastes at these TPPs. A description is presented of four MSW-fired TPPs being constructed in the Moscow oblast that are designed for energy recovery from approximately 2.8 million t of wastes per year.

Keywords: municipal solid wastes, energy recovery, power plant, energy efficiency, cogeneration, centralized heat-supply system, flue gases, harmful emissions

ПОВЫШЕНИЕ ЭФФЕКТИВНОСТИ ЗВУКОИЗОЛЯЦИИ ЭНЕРГЕТИЧЕСКОГО ОБОРУДОВАНИЯ¹

© 2022 г. А. В. Кирюхин^{a, b, *}, С. П. Бобров^c, В. А. Таран^c, А. П. Железнов^{a, b}

^aЗАО НПВП “Турбокон”, ул. Комсомольская Роща, д. 43, г. Калуга, 248010 Россия

^bКалужский государственный университет им. К.Э. Циолковского,
ул. Степана Разина, д. 26, г. Калуга, 248023 Россия

^cФедеральный научно-производственный центр “Прогресс”,
5-я Кордная ул., д. 4, г. Омск, 644018 Россия

*e-mail: turbocon2@kaluga.ru

Поступила в редакцию 28.12.2021 г.

После доработки 07.04.2022 г.

Принята к публикации 28.04.2022 г.

Анализируются способы снижения воздушного шума на электростанциях при наличии множественных его источников. Основные источники шума на тепловых электростанциях (ТЭС) и средства борьбы с ними довольно давно известны и подробно описаны в литературе. Несмотря на кажущуюся известность, простоту и изученность проблемы, она до сих пор не решена на ТЭС. Превышения уровней звука над требованиями могут достигать 20 дБ и более. Известны случаи, когда “малошумное” импортное оборудование (в частности, газотурбинные установки), создает повышенные уровни шума в помещениях электростанций, несмотря на применение современных средств звукоизоляции и звукопоглощения. Имеются низкочастотные составляющие в октавных полосах 63 и 125 Гц в спектре превышений шума, где плохо работают имеющиеся в наличии звукоизолирующие и звукопоглощающие материалы. Сегодня на ТЭС появились дополнительные низкочастотные инфразвуковые источники повышенного воздушного шума с частотой несколько единиц герц, связанные с применением большого числа низкооборотных мощных вентиляторов сухих градирен. Предлагается звукоизолирующее покрытие, позволяющее решить эту проблему, и приводится экспериментальное подтверждение такой возможности. Показана возможность уменьшения шума на низких частотах (начиная от 20 Гц) в 10 раз и более с помощью специальной низкочастотной звукоизоляции. Даны расчетные зависимости для оценки ее эффективности. Испытания такой звукоизоляции в лаборатории показали разницу в уровнях звукового давления внутри и снаружи звукоизоляции до 30 дБ и более в диапазоне от 20 Гц. Рассмотрена конструкция звукоизолирующего кожуха при наличии отверстий для воздушного охлаждения оборудования. Обсуждаются возможности использования подобных конструкций на тепловых электростанциях и способы повышения их эффективности. Приводятся результаты эксперимента по активному гашению дискретной составляющей шума 37.5 Гц в лаборатории.

Ключевые слова: тепловая электростанция, воздушный шум, звукоизоляция, звукопоглощение, частотный диапазон, демпфирование, звукоизолирующий кожух, активное гашение шума

DOI: 10.56304/S0040363622120049

Improving the Efficiency of Acoustic Insulation for Power Equipment

A. V. Kiryukhin^{a, b, *}, S. P. Bobrov^c, V. A. Taran^c, and A. P. Zhelezov^{a, b}

^a ZAO Scientific Production and Innovation Enterprise Turbokon, Kaluga, 248010 Russia

^b Tsiolkovskii Kaluga State University, Kaluga, 248023 Russia

^c Federal Scientific and Production Center Progress, Omsk, 644018 Russia

*e-mail: turbocon2@kaluga.ru

Abstract—Methods are analyzed for decreasing the airborne noise at power plants in the presence of many noise sources. The main sources of noise at thermal power plants (TPPs) and means of their control have been known for a long time and are described in detail in the literature. Despite the apparent knowledge, simplicity, and recognition of the problem, it has not yet been solved at TPPs. Sound levels can exceed the standard limits by as much as 20 dB or more. Cases are known when “low-noise” imported equipment (in particular, gas turbine units) emit elevated noise levels in the rooms of power plants, despite the application of modern acoustic insulation and sound absorption means. There are low-frequency components in the octave bands of 63 and 125 Hz in the noise excess spectrum in the case of poor performance of available soundproofing and sound-absorbing materials. Today, additional low-frequency infrasonic sources of elevated airborne noise with a frequency of several hertz have appeared at TPPs. They are related with the application of many large low-speed fans of dry cooling towers. A soundproof coating is proposed for solving this problem, and experimental confirmation of this option is given. The possibility of reducing noise at low frequencies (starting from 20 Hz) by ten times or more using special low-frequency sound insulation is demonstrated. Correlations for the estimation of its efficiency are given. Laboratory tests of this sound insulation have revealed that a difference in sound pressure levels inside and outside the sound insulation is as great as 30 dB or more in the range above 20 Hz. The design of an acoustic enclosure with holes for equipment air cooling is examined. The possibilities of the application of these structures at thermal power plants and ways for improving their efficiency are discussed. The results of a laboratory experiment on the active suppression of the discrete noise component at 37.5 Hz are reported.

Keywords: thermal power plant, airborne noise, acoustic insulation, noise absorption, frequency band, damping, acoustic enclosure, active noise suppression

ПОЛУЧЕНИЕ ГЛИНОЗЕМА ИЗ ЗОЛЫ УГОЛЬНЫХ ЭЛЕКТРОСТАНЦИЙ¹

© 2022 г. Л. М. Делицын^a, *, Р. В. Кулумбеков^a, О. С. Попель^a, М. Г. Сульман^b

^aОбъединенный институт высоких температур РАН, Ижорская ул., д. 13, корп. 2, Москва, 125412 Россия

^bТверской государственный технологический университет, наб. Афанасия Никитина, д. 22, г. Тверь, 170026 Россия

*e-mail: delitzin@ihed.ras.ru

Поступила в редакцию 31.03.2022 г.

После доработки 02.05.2022 г.

Принята к публикации 23.05.2022 г.

Энергетический сектор России, использующий уголь для генерации тепла и электроэнергии, – крупный источник золошлаков, отвалы которых занимают большие площади и одновременно являются причиной экологических проблем. При этом они содержат в себе глинозем и другие ценные продукты. В золоотвалах угольных электростанций Уральского региона на сегодняшний день накоплено около 350 млн т золы, количество которой ежегодно увеличивается на 7–8 млн т. Получение глинозема из золошлаковых отвалов на собственных предприятиях в условиях складывающейся конъюнктуры на мировом рынке представляет собой важнейшую задачу отечественной металлургической промышленности. Так, золы крупных тепловых угольных электростанций Уральского региона России: Троицкой, Рефтинской, Верхнетагильской и др. – содержат 28–32% глинозема и могли бы стать техногенным сырьем для производства алюминия, частично заместив импорт бокситов в Россию из зарубежных стран. В статье представлены результаты экспериментальных исследований, направленных на разработку технологии извлечения качественного глинозема из высокоглиноземной золы угольных электростанций. Изучено влияние различных технологических параметров на процесс получения целевого продукта. На первой стадии данного процесса в результате частичного обескремнивания золы раствором щелочи выделяют обогащенный глиноземный концентрат, который по своим физико-химическим свойствам близок к низкосортному бокситовому сырью. На второй стадии технологии методом спекания глиноземного концентрата с карбонатами натрия и кальция получают продукт с 97–98%-ным содержанием Al_2O_3 , при этом степень извлечения глинозема из золы составляет 88–90%.

Ключевые слова: зола угольных электростанций, щелочное обескремнивание, производство глинозема, растворимость, диоксид кремния, фазовый состав, термическая обработка, стеклофаза

DOI: 10.56304/S0040363622120025

Obtaining Alumina from the Ash of Coal-Fired Power Plants

L. M. Delitsyn^{a,*}, R. V. Kulumbegov^a, O. S. Popel^a, and M. G. Sul'man^b

^aJoint Institute for High Temperatures, Russian Academy of Sciences, Moscow, 125412 Russia

^bTver State Technical University, Tver, 170026 Russia

*e-mail: delitzin@ihed.ras.ru

Abstract—Russia's energy sector that uses coal for heat and electricity generation is a large source of ash and slags, the dumps of which occupy large areas and at the same time pose problems for the environment. These dumps contain, among other components, alumina and other valuable products. In the ash dumps from coal-fired power plants in the Ural region, approximately 350 million t of ash has been accumulated by now, and the amount continues to grow by 7–8 million t per annum. Given the conditions emerging on the world market, the obtaining of alumina from the ash and slag dumps at their own enterprises is a problem of Russia's metallurgical industry that is of utmost importance. Thus, the ashes from large, coal-fired thermal power plants in the Ural region of Russia, including the Troitsk, Reftinsk, Verkhniy Tagil, and other power plants, contain 28–32% of alumina and could become a man-made raw material for producing aluminum, thereby partially substituting the import of bauxites in Russia from foreign countries. The article presents the results of experimental studies aimed at elaborating a technology for extracting high-quality alumina from the alumina-rich ash of coal-fired power plants. The influence of various technological parameters on the target product's obtainment process is studied. At the first stage of this process, which involves partial desiliconization of ash by treating it with alkali solution, enriched alumina concentrate is extracted, which is close to low-grade bauxite raw material in its physicochemical properties. At the technology's second stage, a product with a 97–98% content of Al_2O_3 is obtained using the method of sintering the alumina concentrate with sodium and calcium carbonates; as a result, the alumina extraction ratio from ash is 88–90%.

Keywords: ash of coal-fired power plants, desiliconization by alkali treatment, alumina production, solubility, silicon dioxide, phase composition, heat treatment, glass phase

**ТЕПЛО- И МАССООБМЕН,
СВОЙСТВА РАБОЧИХ ТЕЛ И МАТЕРИАЛОВ**

**ВАЛИДАЦИЯ МОДЕЛИ ЖИДКОЙ ПЛЕНКИ КОНДЕНСАТА
НА ПОВЕРХНОСТИ ГЛАДКОГО ГОРИЗОНТАЛЬНОГО ЦИЛИНДРА
ПРИ РАЗЛИЧНЫХ НАПРАВЛЕНИЯХ ДВИЖЕНИЯ ПАРА¹**

© 2022 г. К. Б. Минко^a, *, В. И. Артемов^a, А. А. Клементьев^a

^aНациональный исследовательский университет “Московский энергетический институт”,
Красноказарменная ул., д. 14, Москва, 111250 Россия

*e-mail: minkokb@gmail.com

Поступила в редакцию 06.05.2022 г.

После доработки 30.05.2022 г.

Принята к публикации 28.06.2022 г.

Для повышения эффективности, надежности, компактности конденсационных устройств, предназначенных для тепловой и атомной энергетики, химических и других многочисленных производств, использующих конденсаторы, и снижения их стоимости требуется совершенствование моделей процессов конденсации на гладких горизонтальных трубах, собранных в пучки различной компоновки. В предыдущих публикациях авторов были представлены результаты исследования процессов конденсации с использованием комплексной CFD-модели. Ключевой элемент этой модели – одномерная модель пленки конденсата, которую ранее авторы валидировали преимущественно на экспериментальных данных по конденсации пара на пучках горизонтальных труб из движущейся парогазовой смеси со значительным содержанием неконденсирующихся примесей, при этом совокупность и сопряженность происходящих физических процессов, неопределенность (погрешность) данных, полученных для пучков труб, по сравнению с данными для одиночной трубы затрудняла детальную валидацию упомянутой модели пленки. Представлены результаты валидации модели жидкой пленки, предложенной ранее, а также несколько упрощенного варианта модели на всех доступных к настоящему времени данных о характеристиках процессов конденсации на поверхности гладкой горизонтальной трубы при произвольном направлении движения внешнего потока насыщенного сухого пара. Упрощенная модель жидкой пленки включает в себя только одномерное уравнение сохранения массы конденсата, для решения которого требуется информация о распределении температуры стенки по периметру трубы и касательных напряжений на поверхности раздела фаз жидкость – газ. Температуру стенки трубы рассчитывали по одномерному (по угловой координате) уравнению теплопроводности, распределение касательных напряжений на поверхности пленки находили из решения уравнений пограничного слоя для ламинарного течения около цилиндра с учетом неоднородного распределения отбора массы газа на его поверхности. Для определения характеристик пленки в режиме “захлебывания” предложена новая численная схема “против потока”, учитывающая особенности профиля скорости в пленке. Валидация предлагаемых моделей выполнена с привлечением экспериментальных данных для опускного движения пара (вода и фреон R-113, более 500 точек) и немногочисленных данных для других направлений вектора скорости внешнего потока пара.

Ключевые слова: конденсация, горизонтальные трубы, вода, фреон R-113, горизонтальное движение пара, нисходящее движение пара, численное моделирование, модель жидкой пленки

DOI: 10.56304/S0040363622120062

Validating the Model of a Liquid Condensate Film on the Surface of a Smooth Horizontal Cylinder for Different Vapor Flow Directions

K. B. Minko^a, *, V. I. Artemov^a, and A. A. Klement'eva^a

^a National Research University Moscow Power Engineering Institute, Moscow, 111250 Russia

**e-mail: minkokb@gmail.com*

Abstract—To increase the efficiency, reliability, and compactness of condensers designed for thermal and nuclear power industries and chemical and many other facilities employing condensers and to reduce their cost, the models of the condensation processes on smooth horizontal tubes assembled in bundles of different arrangements need to be improved. The previous publications of the authors reported the results of a study of condensation processes using a comprehensive CFD model. The key element of this model is a one-dimensional condensate film model, which was previously validated by the authors basically against the experimental data on vapor condensation from a moving gas-vapor mixture with a high content of non-condensables on a horizontal tube bundle, while the combination and interrelation of running physical processes and the uncertainty (error) in the data for tube bundles, compared with the data for a single tube, made it more difficult to validate the above-mentioned film model in detail. The results of the validation of the previously proposed liquid film model and of a somewhat simplified version of the model against all available data on the characteristics of condensation processes on the surface of a smooth horizontal tube with any direction of an external flow of saturated dry vapor are presented. The simplified liquid film model includes only a one-dimensional condensate continuity equation, the solution of which requires information on the distribution of the wall temperature along the tube perimeter and of the shear stresses over

the liquid-gas interface. The tube wall temperature from the one-dimensional (in terms of the angular coordinate) heat conduction equation, and the distribution of shear stresses on the film surface was found from the solution of the boundary layer equations for a laminar flow near a cylinder, taking into account the uniform distribution of gas mass removal on its surface. To determine the film characteristics under “flooding” conditions, a new numerical “upstream” scheme is proposed, which considers the features of the velocity profile in the film. The proposed models were validated against experimental data for the downward flow of vapor (water and refrigerant R-113, more than 500 points) and a few data for other directions of the velocity vector of the external vapor flow.

Keywords: condensation, horizontal tubes, water, refrigerant R-113, horizontal vapor flow, downward vapor flow, numerical modeling, liquid film model

ТЕПЛО- И МАССООБМЕН,
СВОЙСТВА РАБОЧИХ ТЕЛ И МАТЕРИАЛОВ

ЭКСПЕРИМЕНТАЛЬНОЕ ИССЛЕДОВАНИЕ ЭФФЕКТИВНОСТИ
ТЕРМОСТАБИЛИЗАЦИИ СТЕНКИ ДИСПЕРГИРОВАННЫМ ПОТОКОМ¹

© 2022 г. В. С. Штелинг^a, А. В. Дедов^a, А. В. Захаренков^a, *, А. Т. Комов^a, П. П. Щербаков^a

^aНациональный исследовательский университет “Московский энергетический институт”,
Красноказарменная ул., д. 14, Москва, 111250 Россия

*e-mail: ZakharenkovAV@gmail.com

Поступила в редакцию 03.04.2022 г.

После доработки 25.04.2022 г.

Принята к публикации 28.04.2022 г.

Выполнен комплекс работ по модернизации экспериментального стенда, моделирующего высоко-нагруженные элементы термоядерных установок. Разработана конструкция рабочего участка, с помощью которого можно реализовать односторонний нагрев с высокой плотностью энергии. Основным элементом схемы нагрева рабочего участка является высокочастотный генератор ВЧ-60АВ при рабочих частотах 30–60 кГц. Приведено описание схемы экспериментального стенда, а также элементов гидравлического контура, элементов схемы высокочастотного нагрева и измерительной системы. Представлена схема гидравлической форсунки с коническим вкладышем, генерирующей диспергированный поток при проведении экспериментальных исследований. Приведены результаты измерения полей скорости в факеле распыла форсунки, а также экспериментального исследования распределения диспергированного потока по радиусу капель, определен средний диаметр капель в сечении факела распыла, который составил 34 мкм. Описаны методики проведения экспериментов по термостабилизации в стационарном режиме диспергированным потоком теплоносителя и обработки первичных экспериментальных данных. Выполнено исследование эффективности термостабилизации высокотемпературной поверхности диспергированным потоком дистиллированной воды при избыточном давлении теплоносителя $(0.2\text{--}0.6) \times 10^6$ Па, массовом расходе теплоносителя $(3.3\text{--}6.15) \times 10^{-3}$ кг/с, плотности орошения в пределах от 1.67 до 3.11 кг/(м² · с). Проведена обработка полученного массива экспериментальных данных, представлены графические зависимости плотности теплового потока и коэффициента теплоотдачи от температурного напора между охлаждаемой стенкой и диспергированным потоком теплоносителя. Плотность теплового потока в экспериментальном исследовании достигала 3.2 МВт/м², коэффициент теплоотдачи при этом составил 77 кВт/(м² · К). Полученные экспериментальные данные обладают удовлетворительной воспроизводимостью в широком диапазоне значений температурного напора от 0 до 400°C, достигнуты высокие значения плотности теплового потока и теплоотдачи.

Ключевые слова: диспергированный поток теплоносителя, охлаждение, гидравлический контур, форсунка, рабочий участок, плотность теплового потока, коэффициент теплоотдачи, интенсивное охлаждение, экспериментальные исследования

DOI: 10.56304/S0040363622120086

An Experimental Study of Wall Thermal Stabilization Efficiency by Spray Cooling

V. S. Shteling^a, A. V. Dedov^a, A. V. Zakharenkov^{a, *}, A. T. Komov^a, and P. P. Shcherbakov^a

^a National Research University Moscow Power Engineering Institute, Moscow, 111250 Russia

*e-mail: ZakharenkovAV@gmail.com

Abstract—A set of activities aimed at upgrading an experimental bench simulating heavily loaded components of thermonuclear facilities is accomplished. The design of a test section for implementing one-sided heating with high energy density is developed. A VCh-60AV high-frequency generator with operating frequencies of 30–60 kHz is the test section heating system's key component. The article describes the experimental bench schematic design, hydraulic circuit components, and the high-frequency heating system and measurement system components. The schematic design of a hydraulic atomizer with a conical insert, which generates a sprayed flow in carrying out experimental studies is presented. The results of field velocity measurements in the atomizer spray jet and of experimental study of sprayed flow distribution over the droplet radius are given, and the average diameter of droplets in the spray jet section was determined, which was found to be 34 μm . The techniques for carrying out experiments on thermal stabilization in a steady mode by spray cooling and for processing the primary experimental data are described. The effectiveness of high-temperature surface thermal stabilization by a spray of distilled water at a coolant gauge pressure of $(0.2\text{--}0.6) \times 10^6 \text{ Pa}$, coolant mass flowrate $(3.3\text{--}6.15) \times 10^{-3} \text{ kg/s}$, and spray density within the range from 1.67 to $3.11 \text{ kg}/(\text{m}^2 \cdot \text{s})$ is studied. The obtained experimental data array is processed, and the graphic dependences of heat flux and heat-transfer coefficient on the temperature difference between the cooled wall and coolant spray are presented. The heat flux in the experimental study reached 3.2 MW/m^2 , and the heat-transfer coefficient in that case was equal to $77 \text{ kW}/(\text{m}^2 \cdot \text{K})$. The obtained experimental data show satisfactory repeatability in a wide range of temperature difference from 0 to 400°C , and high heat flux and heat-transfer values have been reached.

Keywords: coolant sprayed flow, cooling, hydraulic circuit, atomizer, test section, heat flux, heat-transfer coefficient, intense cooling, experimental studies

ТЕПЛО- И МАССООБМЕН,
СВОЙСТВА РАБОЧИХ ТЕЛ И МАТЕРИАЛОВ

ОПРЕДЕЛЕНИЕ ГИДРАВЛИЧЕСКОГО СОПРОТИВЛЕНИЯ
И ОБЪЕМНЫХ КОЭФФИЦИЕНТОВ ТЕПЛО- И МАССООТДАЧИ
ПРИ ОХЛАЖДЕНИИ ОБОРОТНОЙ ВОДЫ
В МНОГОСТУПЕНЧАТОЙ ВИХРЕВОЙ КАМЕРЕ¹

© 2022 г. И. Н. Мадышев^a, *, О. С. Дмитриева^b, В. В. Харьков^b, А. О. Маясова^a

^aНижнекамский химико-технологический институт (филиал) “Казанский национальный исследовательский технологический университет”, просп. Строителей, д. 47, г. Нижнекамск, 423578 Россия

^bКазанский национальный исследовательский технологический университет,
ул. Карла Маркса, д. 68, г. Казань, 420015 Россия

*e-mail: ilnyr_91@mail.ru

Поступила в редакцию 01.04.2022 г.

После доработки 12.05.2022 г.

Принята к публикации 23.05.2022 г.

С целью улучшить тепловые характеристики испарительного охлаждения и снизить гидравлическое сопротивление разработана конструкция вихревой камеры с несколькими ступенями контакта фаз, отличительная особенность которых – зоны контакта закрученных течений жидкости и газа, находящиеся в кольцевом пространстве устройства. Экспериментальным путем исследован процесс охлаждения воды в многоступенчатой вихревой камере. Конструкция способна устойчиво работать в широком диапазоне нагрузок: как высоких, так и низких по жидкой и газовой фазам. При проектировании новых контактных устройств в технологических расчетах используется критерий энергоэффективности. Наиболее целесообразно проводить ее оценку по методу Меркеля и Кирпичева. Определены гидравлическое сопротивление вихревой камеры и ее тепловая мощность при различных режимах работы. Полученные значения гидравлического сопротивления в зависимости от плотности орошения в вихревой камере позволяют оценить энергоэффективность устройства и выбрать оптимальные режимы работы по критерию Кирпичева. Представлены выражения для расчетов коэффициентов тепло- и массоотдачи. Критериальное уравнение дает возможность определить, соответствует ли проектному значению эффективность предлагаемого устройства. Проведено сравнение разработанной вихревой камеры с оросителями известных типов по объемному коэффициенту массоотдачи. Многоступенчатая вихревая камера имеет повышенный коэффициент массоотдачи при соотношении массовых расходов газовой и жидкой фаз $G/L > 0.5$. Наиболее высокая охлаждающая способность вихревой камеры наблюдается при низких массовых плотностях орошения, т.е. небольших гидравлических нагрузках по жидкой фазе. Для повышения энергоэффективности используемых контактных устройств следует проводить процессы охлаждения оборотной воды при малых среднерасходных скоростях газа.

Ключевые слова: градирня, вихревая камера, гидравлическое сопротивление, эффективность, коэффициент тепло- и массоотдачи

DOI: 10.56304/S0040363622110030

Determining Hydraulic Resistance and Volumetric Heat and Mass Transfer Coefficients during Cooling of Circulating Water in a Multistage Vortex Chamber

I. N. Madyshev^a, *, O. S. Dmitrieva^b, V. V. Kharkov^b, and A. O. Mayasova^a

^a Nizhnekamsk Institute of Chemical Technology (branch), Kazan National Research Technological University,
Nizhnekamsk, 423578 Russia

^b Kazan National Research Technological University, Kazan, 420015 Russia

*e-mail: ilnyr_91@mail.ru

Abstract—To improve the thermal performance of evaporative cooling process and reduce hydraulic resistance, a new vortex chamber has been designed with several stages of phase contact whose distinguishing feature is the arrangement of contact zones of swirling liquid and gas flows in the annular space of the chamber. The designed vortex chamber can operate stably in a wide range of loads, both high and low loads with respect to liquid and gas phases. Process design calculations of new contact elements are based on the criterion of energy efficiency. The best way for its estimation is by the Merkel and Kirpichev method. The hydraulic resistance and thermal power of the vortex chamber are determined under various operating conditions. The obtained dependence of hydraulic resistance on the spray rate in the vortex chamber makes it possible to estimate the energy efficiency of the chamber and select the best operating conditions according to the Kirpichev criterion. Expressions for calculation of heat and mass transfer coefficients are presented. The criterion equation enables us to determine whether the efficiency of the proposed device corresponds to the design value. The volumetric mass transfer coefficients encountered in the developed vortex chamber with known type of sprinklers are compared with experimental data. The developed vortex chamber has an enhanced mass transfer coefficient at the gas-to-liquid mass flowrate ratio of $G/L > 0.5$. The vortex chamber cooling capacity is maximized at low mass spray rates, i.e., at low hydraulic loads with respect to the liquid phase. To increase the energy efficiency of the used contact devices, the circulating water should be cooled at low average gas flow velocities.

Keywords: cooling tower, vortex chamber, hydraulic resistance, efficiency, heat and mass transfer coefficient

ПАРОВЫЕ КОТЛЫ, ЭНЕРГЕТИЧЕСКОЕ ТОПЛИВО,
ГОРЕЛОЧНЫЕ УСТРОЙСТВА
И ВСПОМОГАТЕЛЬНОЕ ОБОРУДОВАНИЕ КОТЛОВ

ЧИСЛЕННОЕ ИССЛЕДОВАНИЕ ТОПОЧНЫХ ПРОЦЕССОВ
ПРИ СЖИГАНИИ НЕПРОЕКТНЫХ УГЛЕЙ В КОТЛЕ
ПРОИЗВОДИТЕЛЬНОСТЬЮ 220 т/ч¹

© 2022 г. К. И. Мальцев^a, *, А. В. Гиль^a, А. С. Заворин^a, Д. В. Лебедь^b

^aНациональный исследовательский Томский политехнический университет,
просп. Ленина, д. 30, г. Томск, 634050 Россия

^bАО “Хабаровская ремонтно-монтажная компания”, Адмиральская ул., д. 10, г. Хабаровск, 680033 Россия

*e-mail: kim3@tpu.ru

Поступила в редакцию 17.03.2022 г.

После доработки 12.05.2022 г.

Принята к публикации 23.05.2022 г.

На многих пылеугольных ТЭС России осуществляется перевод котельных агрегатов на непроектное топливо в связи с ужесточением экологических требований, изменением экономической ситуации, а также вследствие снижения запасов проектного угля. За период эксплуатации Артемовской ТЭЦ исчерпалось месторождение проектного угля, поэтому возникла потребность поиска замещающего твердого топлива для котельных агрегатов БКЗ-220-100Ф. Поскольку при переводе на непроектные угли могут возникать негативные факторы, связанные со снижением надежности работы поверхностей нагрева и обеспечением требуемых значений параметров перегретого пара, актуален вариантный анализ, в том числе на основе численного моделирования, процессов, происходящих при сжигании углей в топочной камере (топке) котельного агрегата. Цель настоящего исследования – проанализировать влияние топочных процессов на надежность, эффективность и экологическую безопасность эксплуатации котельного агрегата при сжигании непроектных углей. Численный анализ проведен с использованием пакета прикладных программ ANSYS Fluent, математическое моделирование топочных процессов основано на подходе Эйлера – Лагранжа. Выполнено сравнение результатов моделирования с поверочными и позонными расчетами топочной камеры. В горизонтальном² сечении на уровне горелочных устройств выделяются высокотемпературные зоны в пристеночной области вблизи углов топочной камеры, образованных экранами левой боковой и фронтовой стен, а также экранами правой боковой и тыльной стен. В результате численного моделирования установлено, что тангенциальная компоновка горелок обеспечивает создание вертикального вихря в топочной камере, однако требуется корректировка углов направления горелочных струй. Сжигание эльгинского угля существенно изменяет температурный режим в топке, что увеличивает вероятность шлакования поверхностей нагрева.

Ключевые слова: котельный агрегат, пылеугольная топочная камера, численное моделирование, процессы горения угля, тепловой расчет

DOI: 10.56304/S0040363622110042

Numerical Study of Furnace Processes during Combustion of Off-Design Coals in a 220 t/h Boiler

K. I. Mal'tsev^a, *, A. V. Gil^a, A. S. Zavorin^a, and D. V. Lebed^b

^a National Research Tomsk Polytechnic University, Tomsk, 634050 Russia

^b AO Khabarovsk Repair and Erection Company, Khabarovsk, 680033 Russia

*e-mail: kim3@tpu.ru

Abstract—In Russia, boiler units at many coal-fired thermal power plants (TPPs) are being converted to operation on off-design fuel due to the introduction of more and more strict environmental regulations, changes in the economic situation, and also due to a decrease in design coal reserves. During the service life of the Artemovsk combined heat and power plant (TETs), the design coal deposit was exhausted. Therefore, a replacement solid fuel for BKZ-220-100F boiler units had to be found. Since conversion to off-design coals may induce negative factors, such as a decrease in the reliability of the heating surfaces and maintenance of the required superheated steam conditions, a variant analysis, including that on the basis of numerical simulation, of the processes occurring during coal burning in a combustion chamber (furnace) enjoys current interests. The objective of this study is to analyze the effect of furnace processes on operating reliability, efficiency, and environmental safety of a boiler unit when burning off-design coals. Numerical analysis was carried out using the ANSYS Fluent software package, and mathematical modeling of furnace processes was based on the Euler-Lagrange approach. The results of simulation are compared with check and zone-by-zone calculations of the furnace chamber. In the horizontal section, at the level of the burners, high-temperature zones are singled out in the near-wall region at the corners of the furnace chamber, which are formed by the waterwalls on the left side and front walls as well as the waterwalls on the right side and rear walls. The numerical simulation has revealed that the tangential arrangement of the burners induces a vertical vortex in the furnace chamber; however, the direction angles of the burner jets should be corrected. Combustion of El'ginsk coal considerably changes the furnace temperature conditions, thereby increasing the risk of heating surfaces slagging.

Keywords: boiler unit, pulverized coal furnace chamber, numerical simulation, coal combustion processes, thermal design calculation

ПАРОВЫЕ КОТЛЫ, ЭНЕРГЕТИЧЕСКОЕ ТОПЛИВО,
ГОРЕЛОЧНЫЕ УСТРОЙСТВА
И ВСПОМОГАТЕЛЬНОЕ ОБОРУДОВАНИЕ КОТЛОВ

СРАВНИТЕЛЬНЫЕ ИССЛЕДОВАНИЯ ПРОЦЕССА ПОЛУЧЕНИЯ
БИОУГЛЯ МЕТОДАМИ ГИДРОТЕРМАЛЬНОЙ КАРБОНИЗАЦИИ
И ТОРРЕФИКАЦИИ В СРЕДЕ ПЕРЕГРЕТОГО ПАРА¹

© 2022 г. Р. Л. Исьемин^a, *, С. Н. Кузьмин^a, В. В. Коняхин^a, О. Ю. Милованов^a,
А. В. Михалёв^a, Н. С. Муратова^a, А. В. Небываев^a, В. С. Кох-Татаренко^a

^a Тамбовский государственный технический университет,
Мичуринская ул., д. 112, корп. И, оф. 1, г. Тамбов, 392032 Россия

*e-mail: risemin@gmail.com

Поступила в редакцию 07.04.2022 г.

После доработки 23.05.2022 г.

Принята к публикации 30.05.2022 г.

Накопление куриного помета с подстилкой (древесных опилок или измельченной соломы), образующегося в больших количествах на птицефабриках (при производстве 1 кг мяса птицы получается 1–3 кг помета с подстилкой), представляет серьезную экологическую проблему. Птицефабрики – одни из самых крупных потребителей электрической энергии, которую можно генерировать путем сжигания помета с подстилкой, в том числе совместно с углем, в топках с пузырьковым или циркулирующим кипящим слоем. Для повышения эффективности и экологичности сжигания (сокращение выбросов оксида углерода) должны быть снижены влажность помета и содержание в нем летучих веществ, а также увеличена теплота его сгорания. Для этого помет с подстилкой перед горением можно подвергнуть предварительной обработке методом гидротермальной карбонизации или торреификации. В настоящей работе проведено сравнение результатов исследований методов переработки смеси куриного помета и опилок в биотопливо в среде перегретого водяного пара. Термохимической обработке подверглись куриный помет и его смесь с древесными опилками в соотношении 1 : 1, 1 : 2 и 2 : 1. Гидротермальная карбонизация осуществлялась в лабораторном автоклаве периодического действия при температуре 220°C в течение 1 и 4 ч. Торреификация биомассы осуществлялась в реакторе с кипящим слоем, образованном частицами биоугля, предварительно полученного в среде перегретого водяного пара при температурах 300 и 350°C. Было установлено, что методом гидротермальной карбонизации можно повысить содержание углерода в помете с подстилкой от 42 до 63%, а высшую теплоту сгорания от 16.7 до 17.8 МДж/кг. В свою очередь, методом торреификации в перегретом паре в кипящем слое можно увеличить эти показатели до 75% и 18.8 МДж/кг соответственно. Процессы гидротермальной карбонизации и торреификации требуют немалых затрат энергии. Для того чтобы повысить экономическую эффективность обоих процессов, исследуется возможность извлечения из отработанной воды (или конденсата) 5-гидроксиметилфурфурола, который рассматривается как ключевой реагент, так называемое “соединение-платформа”, для производства разнообразных практически важных веществ, включая полимеры, фармацевтические препараты, растворители и топлива. Установлено, что содержание 5-гидроксиметилфурфурола в этих водных средах составляет 0.02–0.80 г/дм³ и зависит от метода термохимической обработки биомассы и температуры, при которой протекал процесс.

Ключевые слова: биомасса, смесь куриного помета и опилок, гидротермальная карбонизация, торреификация, кипящий слой, перегретый пар, биоуголь, гидроуголь, 5-гидроксиметилфурфурол

DOI: 10.56304/S0040363622120037

Comparative Studies of the Biochar Production Process Using Hydrothermal Carbonization and Superheated Steam Torrefaction

R. L. Is’emin^a, *, S. N. Kuz’mín^a, V. V. Konyakhin^a, O. Yu. Milovanov^a, A. V. Mikhalev^a, N. S. Muratova^a, A. V. Nebyvaev^a, and V. S. Kokh-Tatarenko^a

^a Tambov State Technical University, Tambov, 392032 Russia

**e-mail: risemin@gmail.com*

Abstract—Accumulation of chicken manure with litter (sawdust or fragmented straw) that is produced in large quantities at poultry farms (in producing 1 kg of poultry, 1–3 kg of manure with litter is obtained) poses a serious problem for the environment. Poultry farms are among the largest consumers of electricity, which can be generated by combusting manure with litter, also jointly with coal, in bubbling or circulating fluidized bed furnaces. For making the combustion more efficient and environmentally friendly (reducing carbon oxide emissions) the manure wetness and the content of volatiles in it should be decreased, and its heating value should be increased. To this end, manure with litter can be subjected, prior to its combustion, to pretreatment using the hydrothermal carbonization or torrefaction method. The article presents a comparison of the results obtained from studies of methods for processing a mixture of chicken manure and sawdust into biofuel in superheated steam. Chicken manure and its mixture with sawdust in the ratios 1 : 1, 1 : 2, and 2 : 1 were subjected to thermochemical treatment. Hydrothermal carbonization was carried out in a batch laboratory autoclave at a temperature of 220°C for 1 and 4 h. Biomass torrefaction was carried out in a fluidized bed reactor with the bed formed by biochar particles that were preliminarily obtained in superheated steam at temperatures of 300 and 350°C. It has been found that by applying the hydrothermal carbonization method, the carbon content in manure with litter can be increased from 42 to 63%, and the higher heating value from 16.7 to 17.8 MJ/kg. In turn, by applying the method of fluidized bed torrefaction in superheated steam, these indicators can be increased to 75% and 18.8 MJ/kg, respectively. The hydrothermal carbonization and torrefaction processes require significant energy expenditures. For making both processes more economically efficient, the possibility of extracting, from the spent water (or condensate), 5-hydroxymethylfurfural, which is regarded as a key reagent, a so-called platform chemical, for producing various practically important substances, including polymers, pharmaceutical drugs, solvents, and fuels, is being researched. It has been determined that the content of 5-hydroxymethylfurfural in these aqueous media makes 0.02–0.80 g/dm³ and depends on the biomass thermochemical treatment method and temperature at which the process was performed.

Keywords: biomass, chicken manure and sawdust mixture, hydrothermal carbonization, torrefaction, fluidized bed, superheated steam, biochar, hydrochar, 5-hydroxymethylfurfural

ТЕХНОЛОГИЯ ПОЛУЧЕНИЯ ДЕТОНАЦИОННЫХ ПОКРЫТИЙ НА ДЕТАЛЯХ ЭНЕРГЕТИЧЕСКОГО ОБОРУДОВАНИЯ, ИЗГОТОВЛЕННЫХ ИЗ СТАЛИ МАРКИ 12Х1МФ¹

© 2022 г. М. К. Даутбеков^{a, c, *}, Б. К. Рахадилов^c, Л. Г. Журерова^b,
Д. Н. Какимжанов^{a, c}, С. Л. Елистратов^d, Т. А. Сегеда^a

^aВосточно-Казахстанский технический университет им. Д. Серикбаева,

ул. Д. Серикбаева, д. 19, г. Усть-Каменогорск, Восточно-Казахстанская обл., 070010 Республика Казахстан

^bВосточно-Казахстанский университет им. С. Аманжолова,

ул. 30-й Гвардейской Дивизии, д. 34, г. Усть-Каменогорск, Восточно-Казахстанская обл., 070020 Республика Казахстан

^cТоварищество с ограниченной ответственностью PLASMASCIENCE,

ул. Д. Серикбаева, д. 37, г. Усть-Каменогорск, Восточно-Казахстанская обл., 070010 Республика Казахстан

^dНовосибирский государственный технический университет,

просп. К. Маркса, д. 20, г. Новосибирск, 630073 Россия

*e-mail: merkhatd@gmail.com

Поступила в редакцию 17.02.2022 г.

После доработки 01.06.2022 г.

Принята к публикации 06.06.2022 г.

Представлены результаты экспериментальных исследований покрытий $\text{Cr}_3\text{C}_2-\text{NiCr}$, нанесенных способом детонационного напыления на теплоустойчивую сталь 12Х1МФ, в том числе влияния технологических параметров процесса нанесения покрытия $\text{Cr}_3\text{C}_2-\text{NiCr}$ на его структуру и свойства. При испытаниях была использована детонационная пушка с одним дозатором. Напыление детонационной пушкой – это один из методов термического формирования защитного слоя на поверхности, отличающийся тем, что позволяет получать твердые, износостойкие и плотные микроструктурированные покрытия. В качестве горючего газа служила ацетилено-кислородная смесь, которая наиболее часто применяется при детонационном напылении порошковых материалов. Импульс азота или воздуха используется для продувки ствола после каждой детонации. Этот процесс повторяется много раз в секунду. Высокая кинетическая энергия частиц горячего порошка при ударе о подложку приводит к образованию очень плотного и прочного покрытия. Полученные покрытия имеют неоднородную слоистую структуру с порами и волнообразным расположением структурных составляющих со слоисто-пористой структурой толщиной 60–120 мкм. На границе раздела подложки и покрытия отсутствуют поры и трещины. В качестве основного параметра измерения шероховатости поверхности выбрано среднее арифметическое отклонение профиля R_a . Установлено, что при 64%-ном заполнении объема ствола детонационной пушки взрывчатой смесью поверхность обработанного образца обладает низкой степенью износа. Приведены результаты исследования влияния детонационного напыления на структурно-фазовый состав и трибологические свойства покрытий методом рентгеноструктурного анализа, согласно которым образуются фазы Cr_3C_2 , Cr_7C_3 , Cr_3O_6 , Cr_{23}C_6 и CrNi_3 , определены микротвердость, шероховатость и трибологические свойства полученных покрытий.

Ключевые слова: $\text{Cr}_3\text{C}_2-\text{NiCr}$, детонационный способ напыления, теплоустойчивая сталь, износостойкость, теплоэнергетика, тепловые электрические станции, надежность

DOI: 10.56304/S0040363622120013

A Technology for Making Detonation Coatings on Power Equipment Parts Made of Grade 12Kh1MF Steel

M. K. Dautbekov^{a, c, *}, B. K. Rakhadilov^c, L. G. Zhurerova^b, D. N. Kakimzhanov^{a, c},
S. L. Elistratov^d, and T. A. Segeda^a

^a Serikbayev East Kazakhstan Technical University,

Ust-Kamenogorsk, East Kazakhstan oblast, 070010 Republic of Kazakhstan

^b Amanzholov East Kazakhstan State University, Ust-Kamenogorsk, East Kazakhstan oblast, 070020 Republic of Kazakhstan

^c PLASMASCIENCE Limited Liability Partnership,

Ust-Kamenogorsk, East Kazakhstan oblast, 070010 Republic of Kazakhstan

^d Novosibirsk State Technical University, Novosibirsk, 630073 Russia

*e-mail: merkhadt@gmail.com

Abstract—The article presents the results obtained from experimental studies of Cr₃C₂–NiCr coatings applied, using the detonation-spraying method, on grade 12Kh1MF heat-resistant steel, including those on the effect that the Cr₃C₂–NiCr coating application process technological parameters have on the coating's structure and properties. In the tests, a detonation gun with a single dosing device was used. Detonation gun spraying is one of the methods for thermally producing a protective layer on the surface, characterized by the fact that it allows hard, wear resistant and dense microstructured coatings to be obtained. Acetylene–oxygen mixture served as combustible gas, which is most frequently used for detonation spraying of powder materials. A nitrogen or air pulse is used for purging the gun barrel after each detonation. This process is repeated several times a second. A high kinetic energy of hot powder particles, as they collide against the substrate, results in that a very dense and strong coating is produced. The obtained coatings have a heterogeneous layered porous structure with undulate location of 60–120 μm-thick structural components with the layered-porous structure. There are no pores or cracks at the substrate-to-coating interface. The profile arithmetic mean deviation R_a is selected as the key roughness measurement parameter. It has been determined that, with the gun barrel volume filled by 64% with explosive mixture, the processed sample surface features a low wear degree. The results from studying the effect that the detonation spraying has on the coating structural-phase composition and tribological properties using the X-ray structural analysis method are given, which have shown that the Cr₃C₂, Cr₇C₃, Cr₃O₆, Cr₂₃C₆, and CrNi₃ phases are produced. The microhardness, roughness, and tribological properties of the obtained coatings have been determined.

Keywords: Cr₃C₂–NiCr, detonation-spraying method, heat-resistant steel, wear resistance, thermal power industry, thermal power plants, reliability

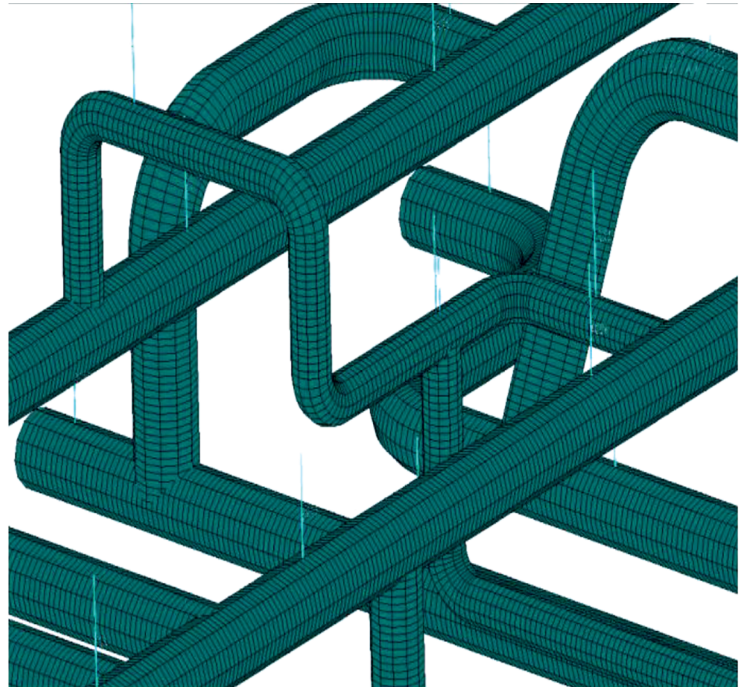
ПОПРАВКА

DOI: 10.56304/S0040363622120074

В статье Р.П. Ануркина, Г.В. Аркадова, В.А. Белышко, И.О. Будько, И.Н. Гусева, А.В. Кузьмина, Ю.Ф. Кутдюсова, М.Т. Слепова “ОПРЕДЕЛЕНИЕ ПРИЧИН ВОЗНИKНОВЕНИЯ РЕЗОНАНСНЫХ ВИБРАЦИЙ ТРУБОПРОВОДОВ СВЕЖЕГО ПАРА ЭНЕРГОБЛОКА № 1 НОВОВОРОНЕЖСКОЙ АЭС-2”, опубликованной в журнале “Теплоэнергетика” (№ 08, 2022 г.), рис. 4 должен выглядеть следующим образом:



a)



б)

Рис. 4. Дополнительный демпфер типа VD-630/325-15 (а), установленный в модели трубопровода датчиков КИП 10LBA, и модель конструкции системы с демпферами (б)